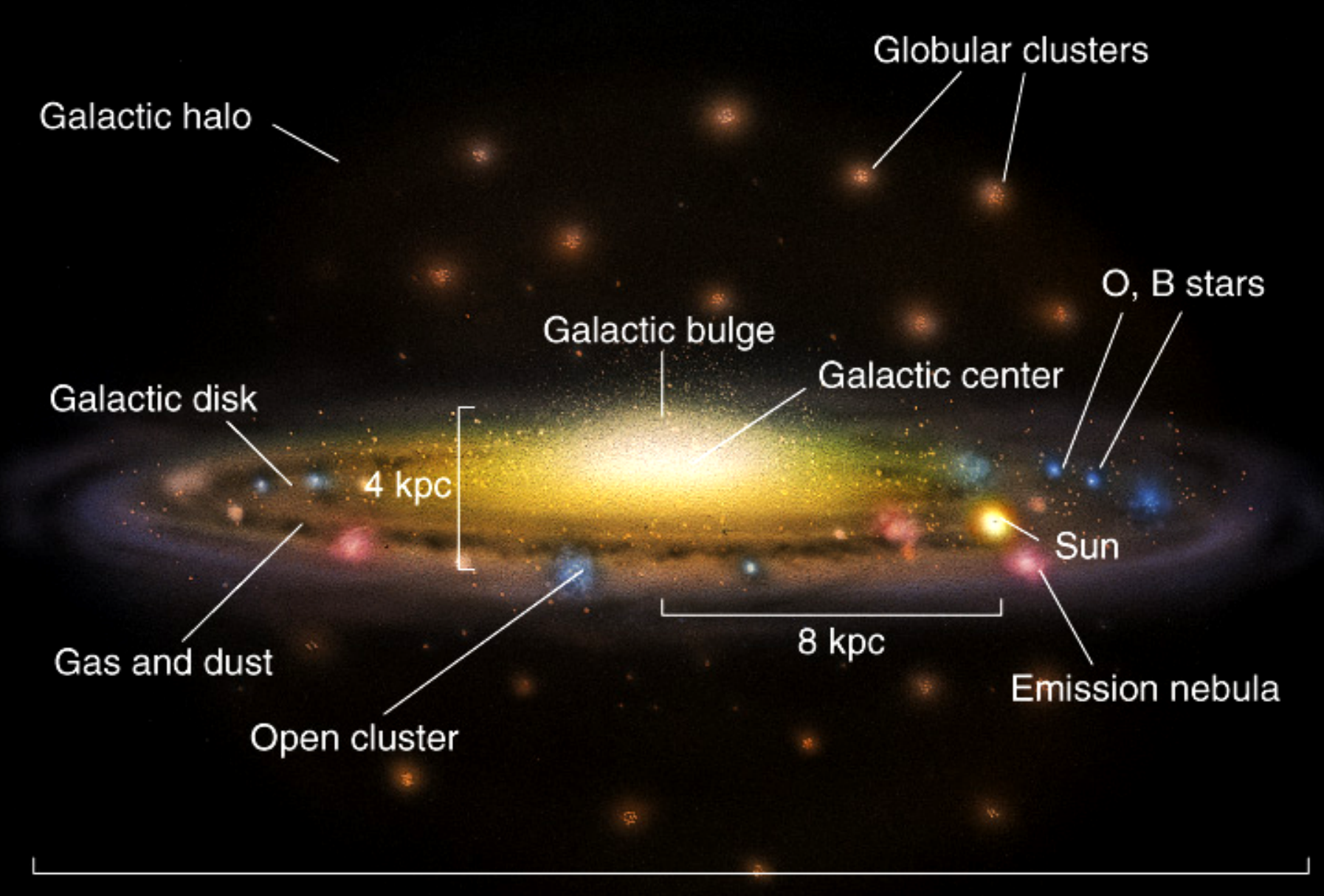




# Le galassie





#### Via Lattea – Scheda

$$\begin{split} Luminosità \sim 2\times 10^{10}~L_{\odot}\\ Massa \sim 2\div 6\times 10^{11}~M_{\odot} \end{split}$$

 $\varnothing$  disco ~  $10^5$  anni-luce  $h_{\odot}$  disco ~  $10^3$  anni-luce

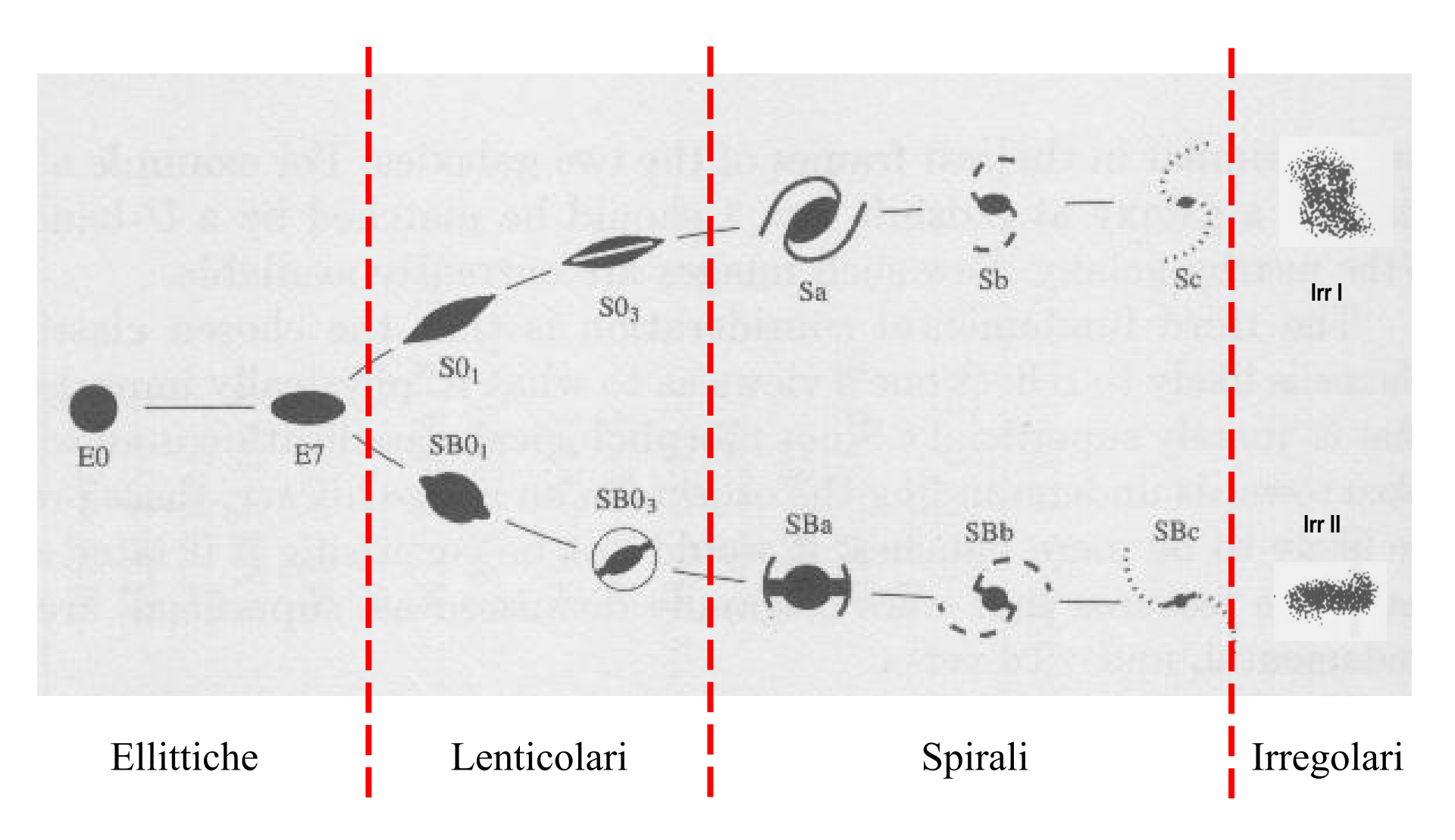
No. di stelle  $\sim 4 \times 10^{11}$ Densità media di stelle  $\sim 1 \, \star \,$  per 125 anni-luce<sup>3</sup> Separazione media fra stelle  $\sim 5$  anni-luce

La stella più vicina al Sole, Proxima Centauri, si trova a  $\sim 4.3$  anni-luce

# Classificazione morfologica



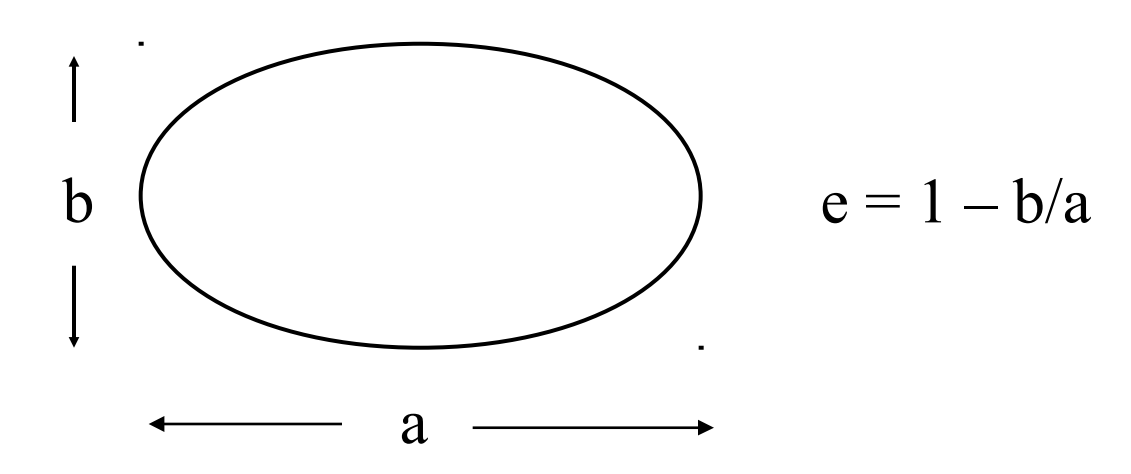
### Diagramma di Hubble

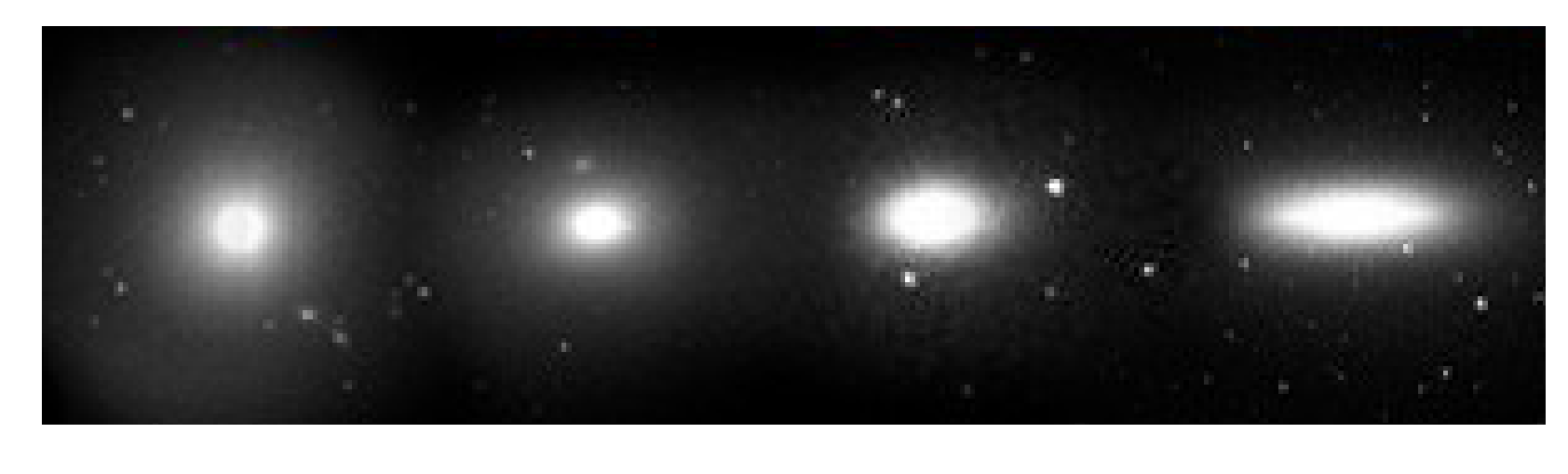


#### Galassie ellittiche

- Forma (apparente) ellittica
- Struttura diffusa con poca evidenza di gas e polveri
- I sottotipi sono definiti sulla base dello schiacciamento apparente (ellitticità, e)

En, 
$$n=0,1,...7$$
 con  $n = 10e = 10(1-b/a)$ 

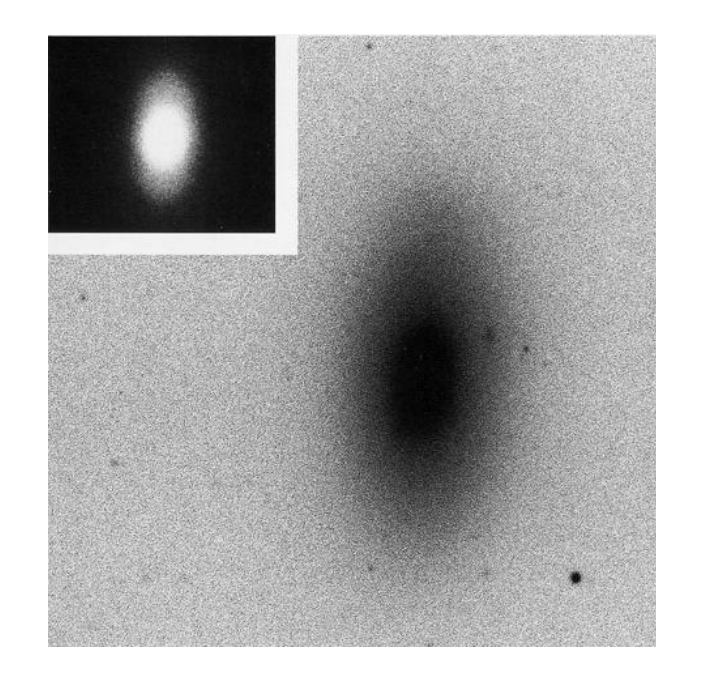




b/a	1	0.7	0.5	0.3
1-b/a	0	0.3	0.5	0.7
tipo	E0	E3	E5	E7

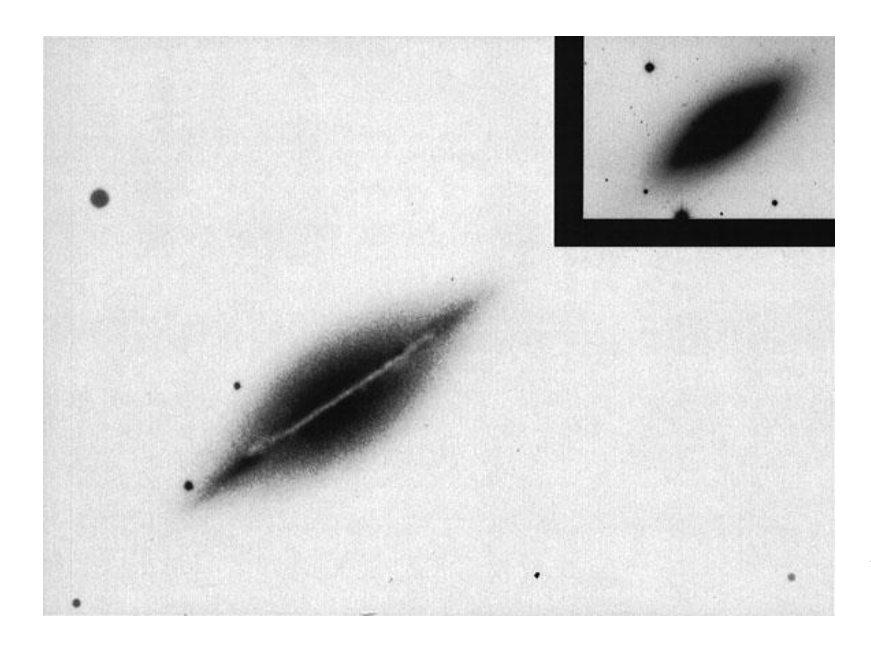
#### Galassie lenticolari

- Due componenti: **sferoide** centrale (**bulge**) e **disco** senza evidenza di bracci di spirale
- Due sottoclassi: **normali** (S0) e **barrate** (SB0)
- I sottotipi S0<sub>1</sub>, S0<sub>2</sub>, S0<sub>3</sub> sono definiti dalla prominenza delle polveri nel disco
- I sottotipi SB0<sub>1</sub>, SB0<sub>2</sub>, SB0<sub>3</sub> sono definiti dalla prominenza delle polveri e della barra



NGC 3245 S0<sub>1</sub>

NGC 4111 S0<sub>2</sub>

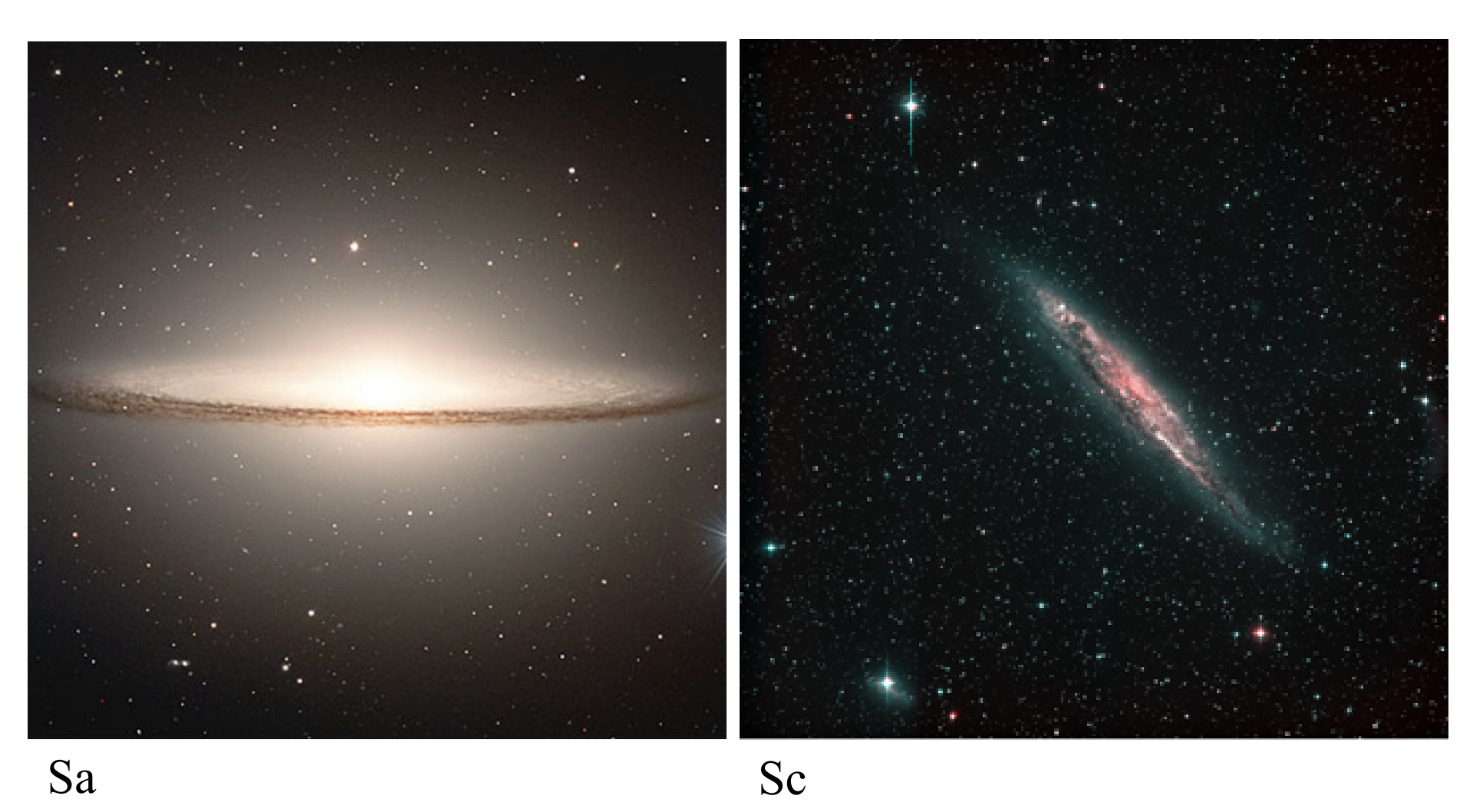


NGC 5866 S0<sub>3</sub>

#### Galassie a spirale

- Due componenti: **sferoide** centrale (bulge) e **disco** caratterizzato dalla presenza dei **bracci di spirale**
- Due sottoclassi: normali (S) e barrate (SB)
- I sottotipi Sa, Sb, Sc sono definiti da tre criteri:
  - prominenza del bulge rispetto al disco
  - avvolgimento/apertura dei bracci a spirale
  - risoluzione del disco in stelle, nodi, regioni HII

#### Galassie "di taglio" (= molto inclinate)



• Bulge molto prominente

• Bulge poco prominente/assente

# Galassie "di faccia" (= poco inclinate)



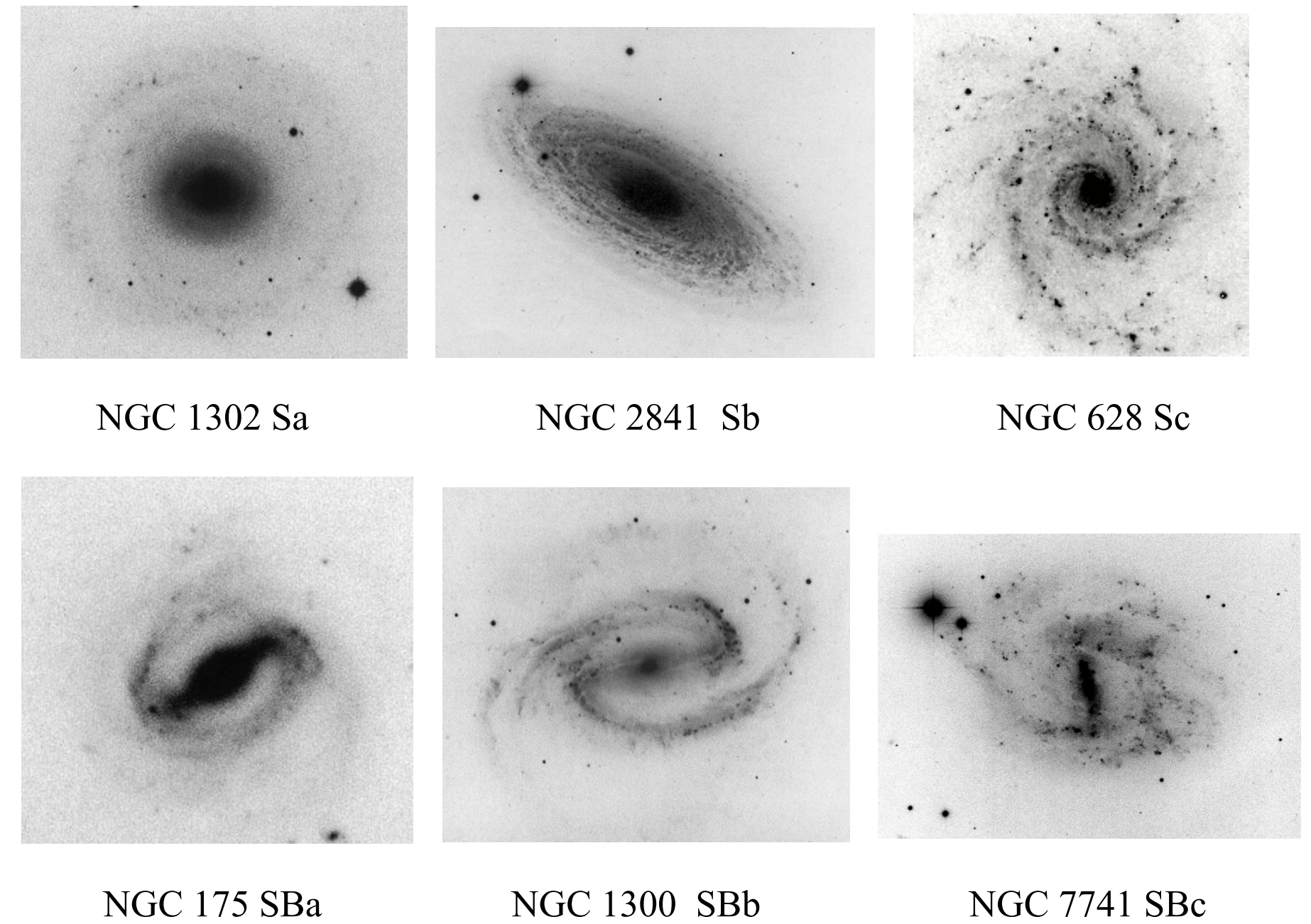
Sa

- Bulge molto prominente
- Bracci molto avvolti
- Bracci poco risolti



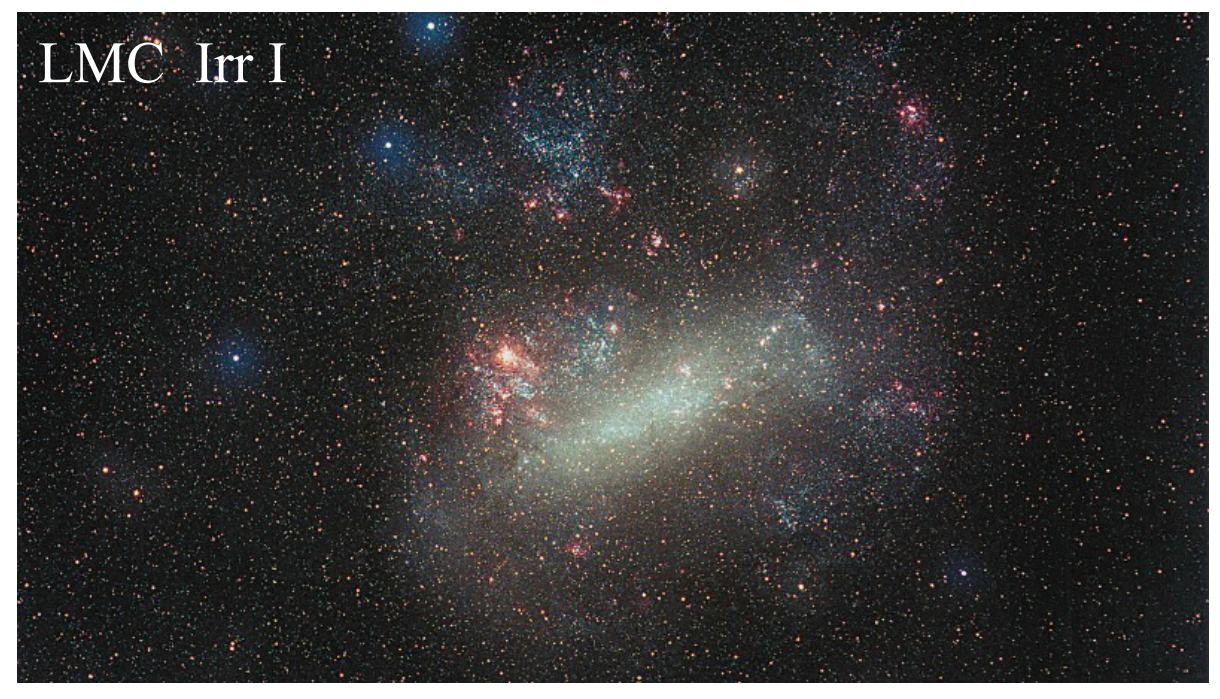
Sc

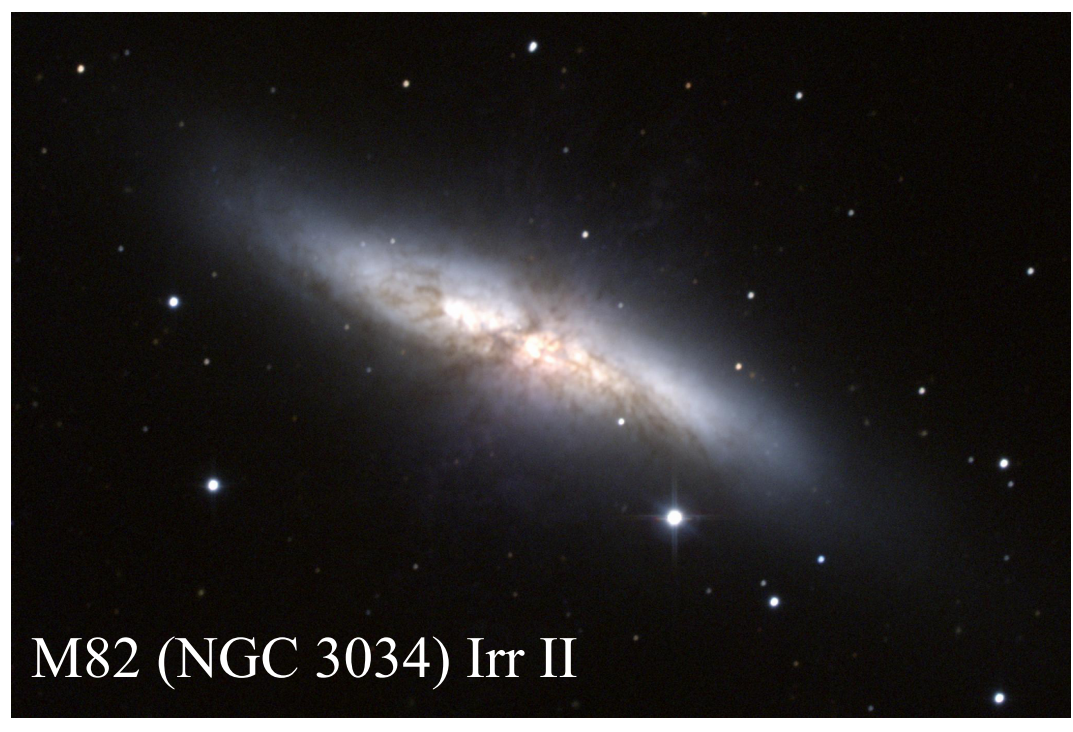
- Bulge poco prominente
- Bracci poco avvolti
- Bracci molto risolti



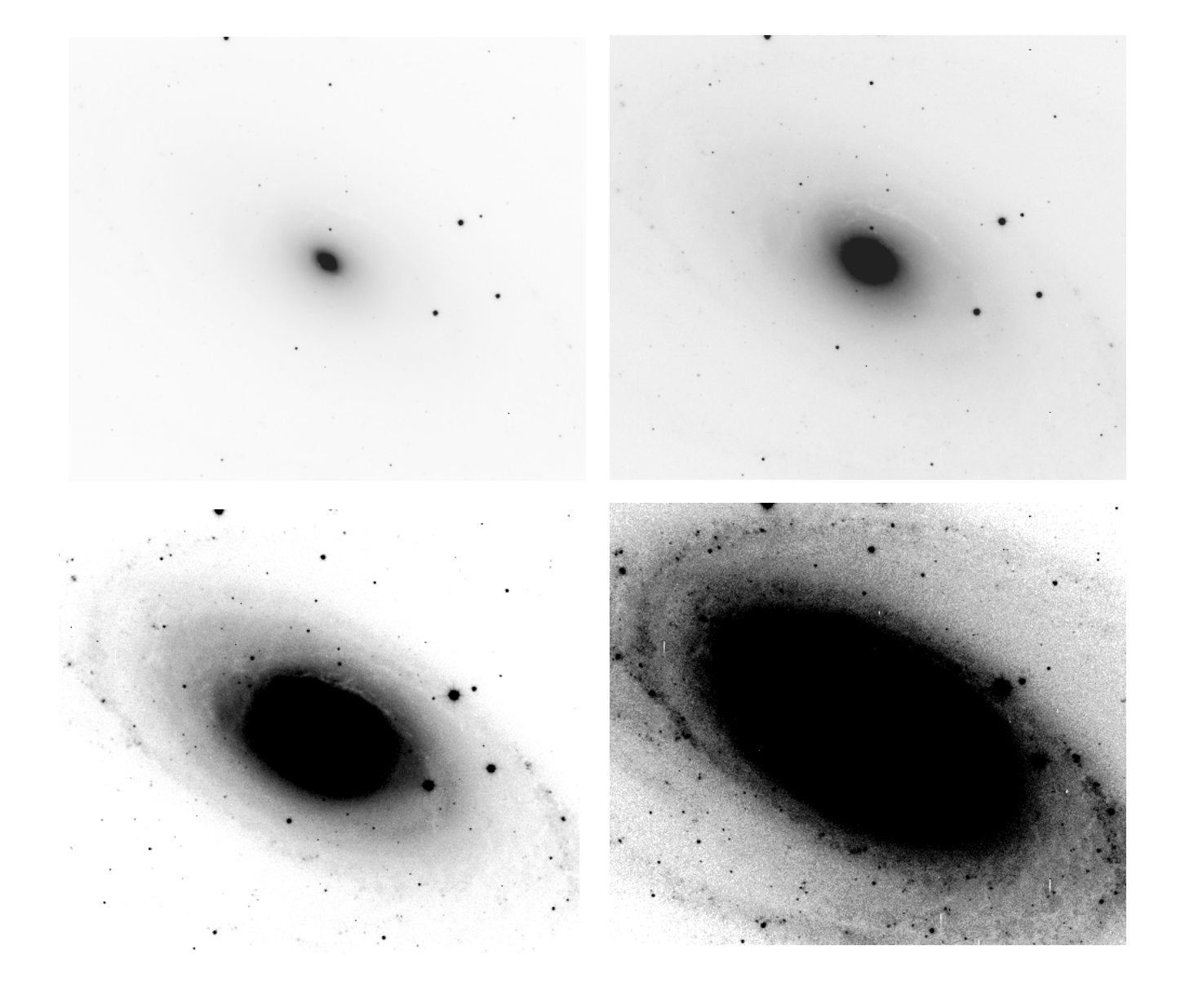
#### Galassie irregolari

- Poca o nessuna simmetria
- Due sottoclassi: **tipo I** (Irr I) e **tipo II** (Irr II)
  - Irr I: fortemente risolte in stelle (a.e. LMC)
  - Irr II: caotiche e disturbate (a.e. M82)

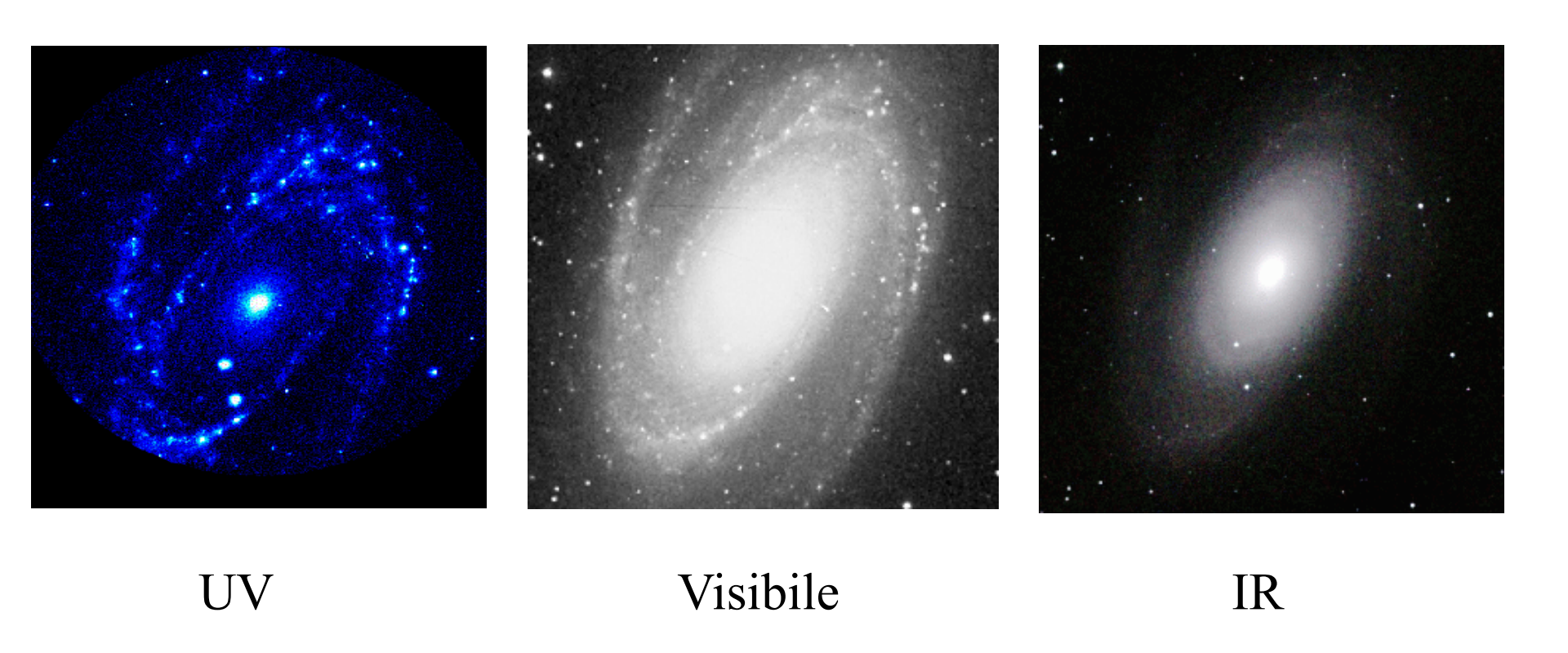




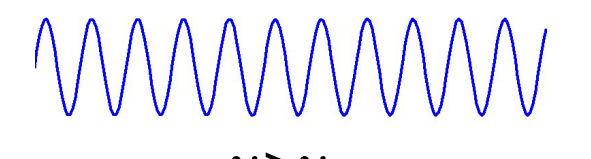
### Limiti delle classificazioni morfologiche

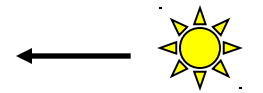


### Limiti delle classificazioni morfologiche

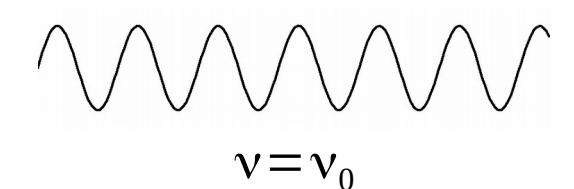


### Effetto Doppler



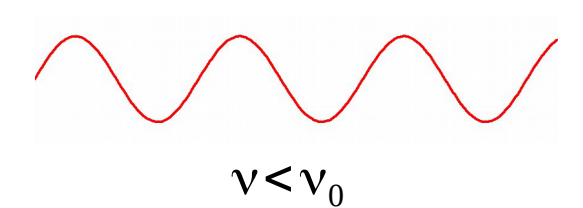








$$v = 0$$





$$v = \frac{v_0}{1 + \frac{v}{c}}$$

#### Redshift

$$\frac{c}{\lambda} = \frac{\frac{c}{\lambda_0}}{1 + \frac{v}{c}} \quad \Rightarrow \quad \lambda = \lambda_0 \left( 1 + \frac{v}{c} \right) \quad \Rightarrow \quad z = \frac{\lambda - \lambda_0}{\lambda_0} = \frac{v}{c}$$

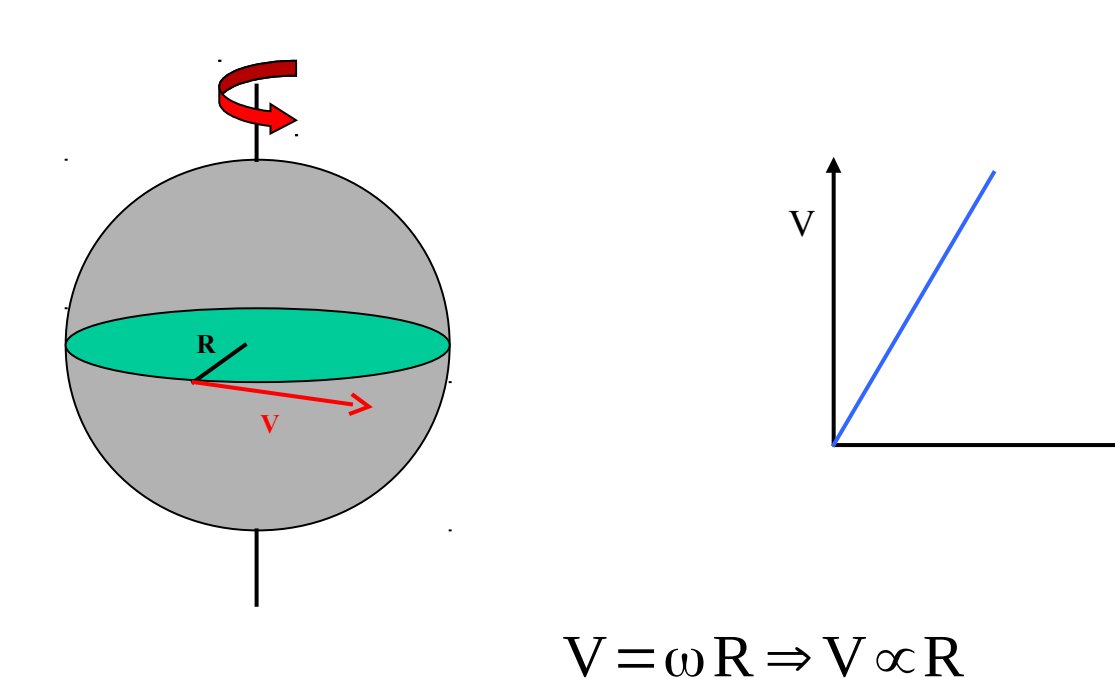
$$v \ll c$$

Quando invece  $v \le c$ :

$$z = \frac{\lambda - \lambda_0}{\lambda_0} = \frac{\sqrt{1 + \frac{v}{c}}}{\sqrt{1 - \frac{v}{c}}} - 1$$

## Rotazione rigida o di corpo solido

R



## Rotazione kepleriana

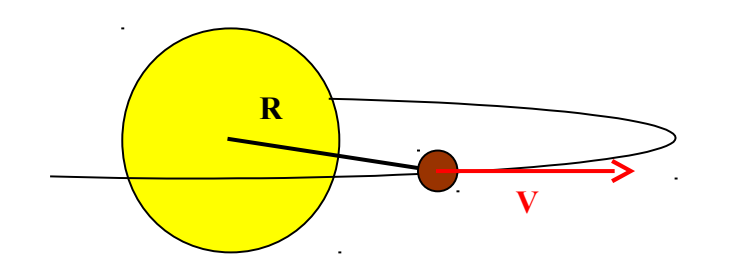
$$\frac{R^3}{T^2} = k$$

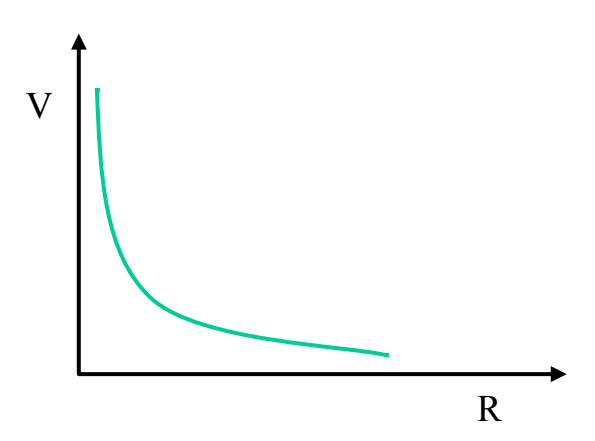


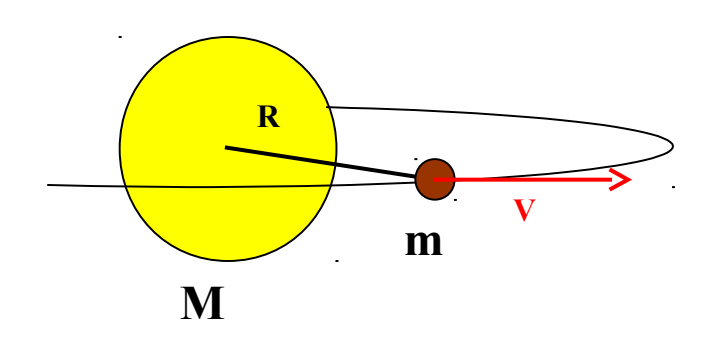
3a Legge di Keplero 
$$\frac{R^{3}}{T^{2}} = k$$

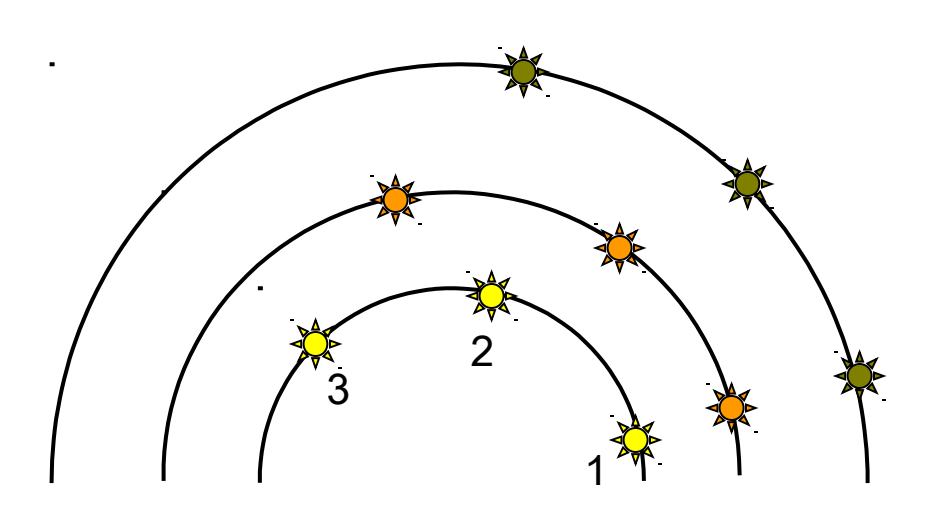
$$V^{2}R = k$$

$$V \propto R^{-1/2}$$









Rotazione differenziale

$$F_g = F_c$$

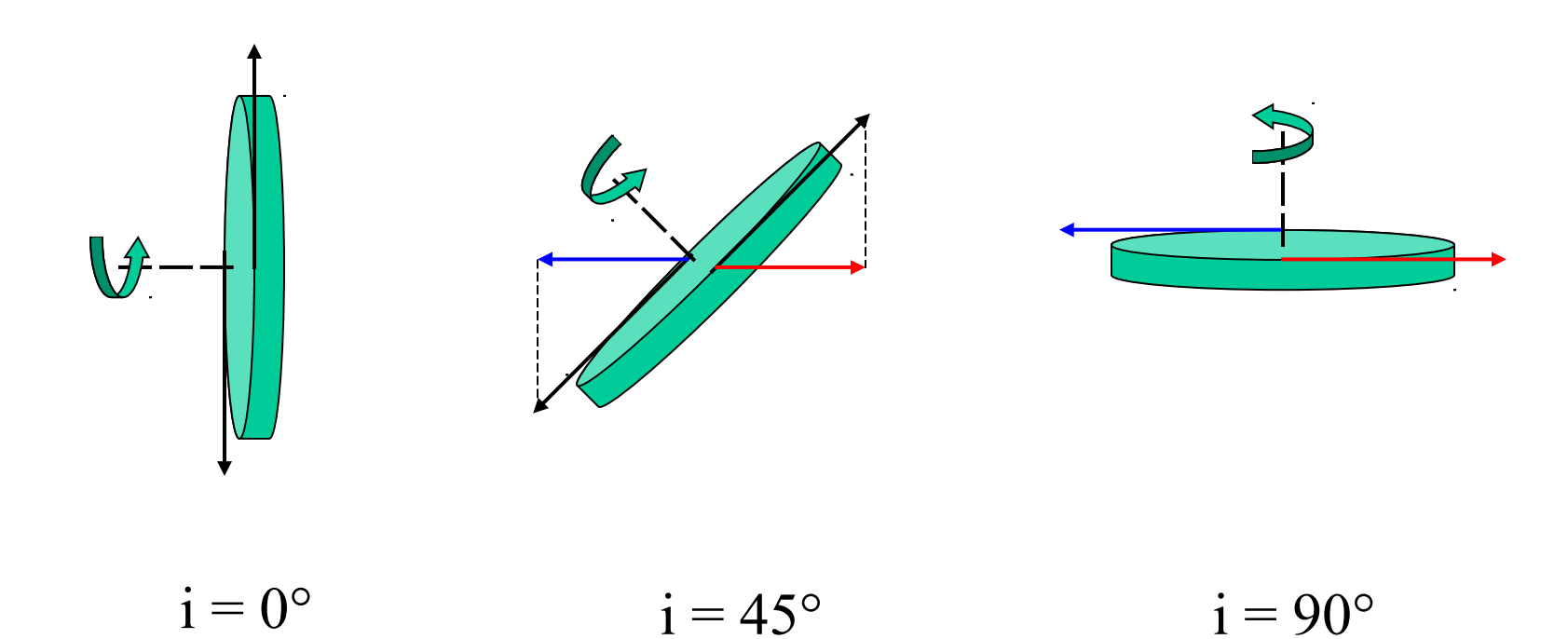
$$G \frac{Mm}{R^2} = m \frac{V^2}{R}$$



$$M = \frac{RV^2}{G}$$

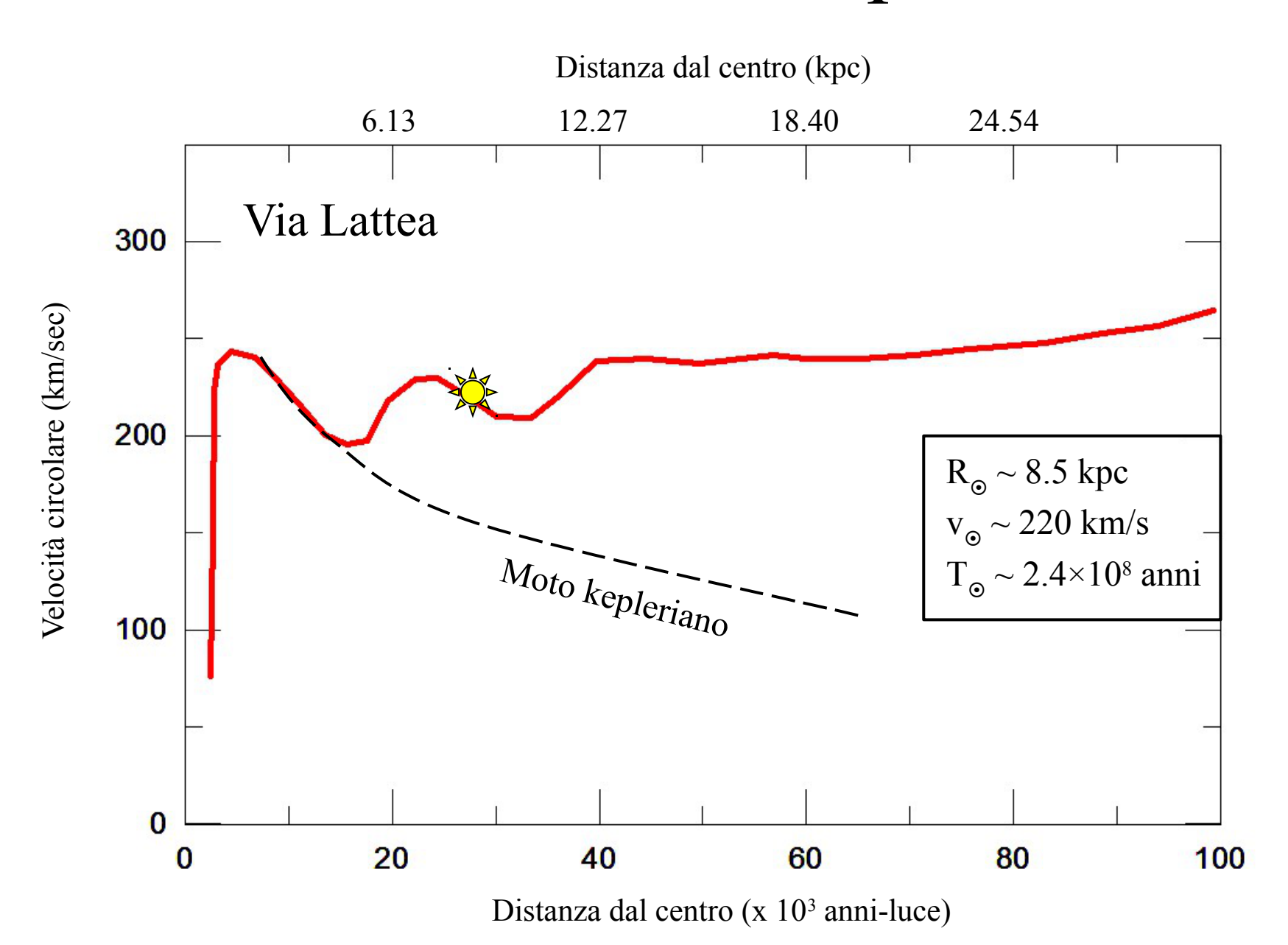
$$G = 6.67 \times 10^{-11} \,\mathrm{m}^3 \,\mathrm{kg}^{-1} \,\mathrm{s}^{-2}$$

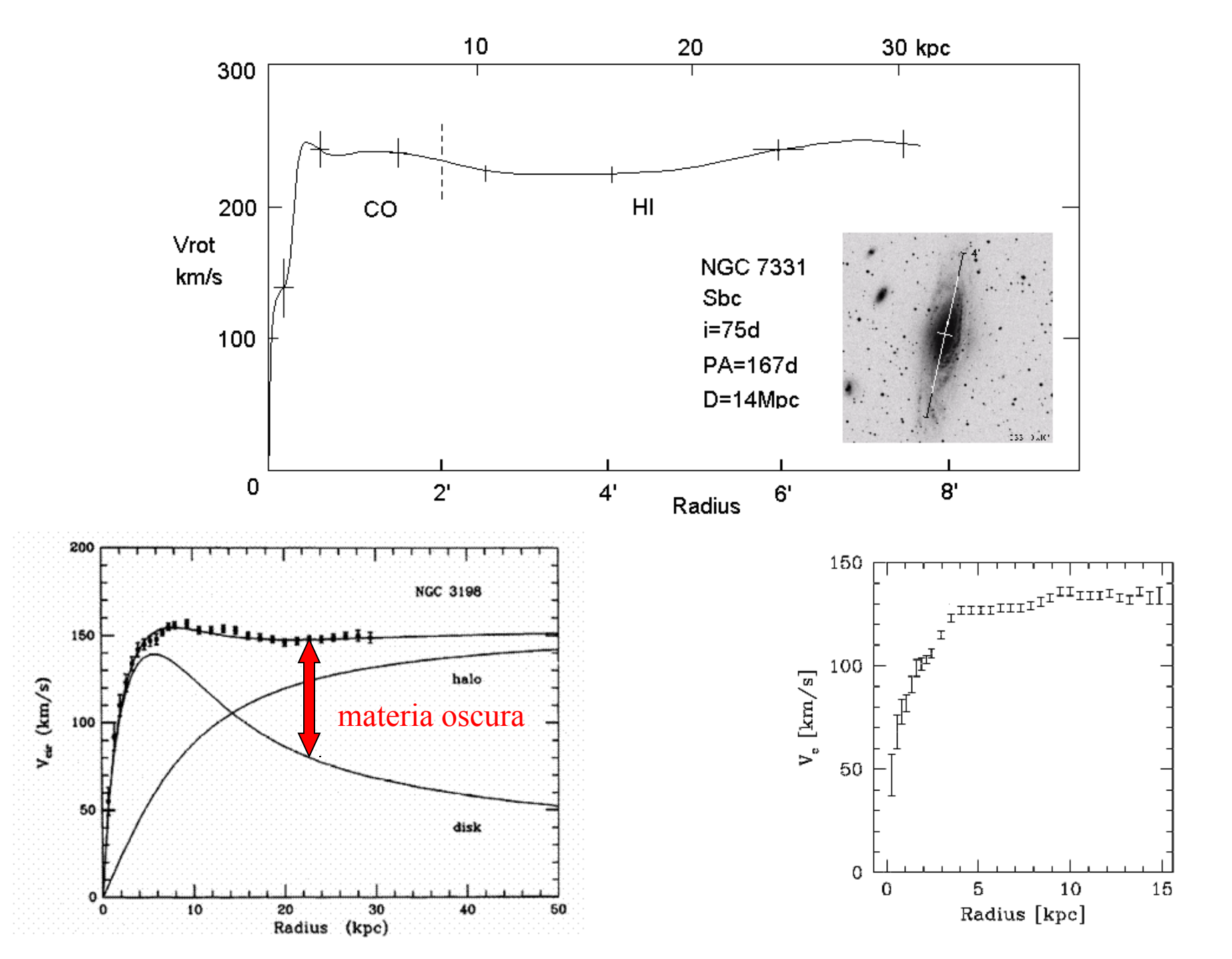
### Effetto di inclinazione



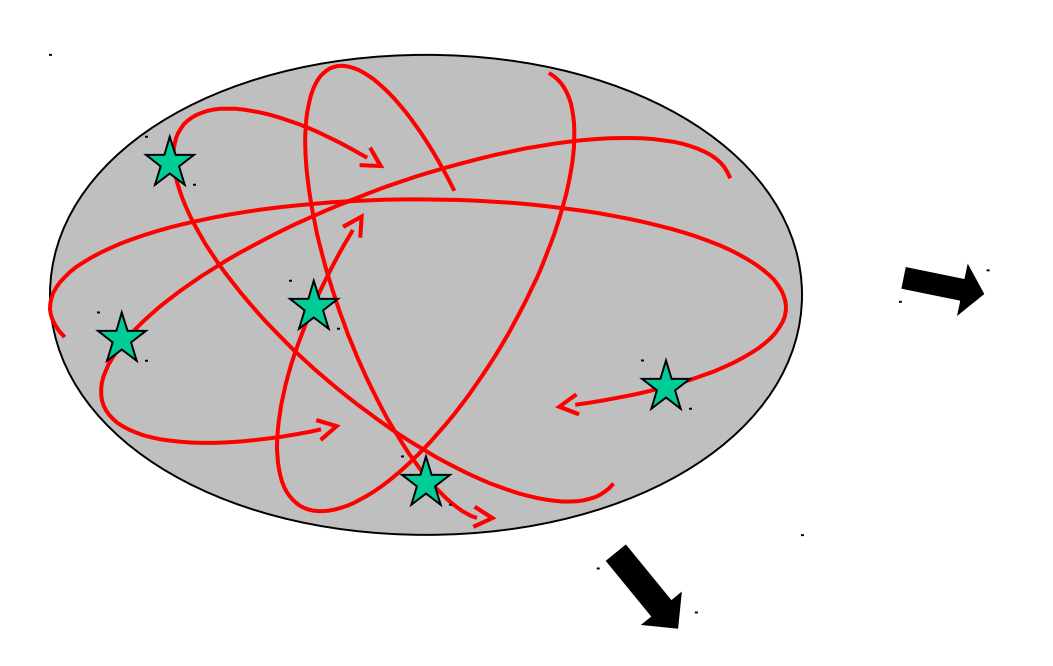
$$v_{oss} = v \sin i$$

### Cinematica delle spirali





#### Cinematica delle ellittiche

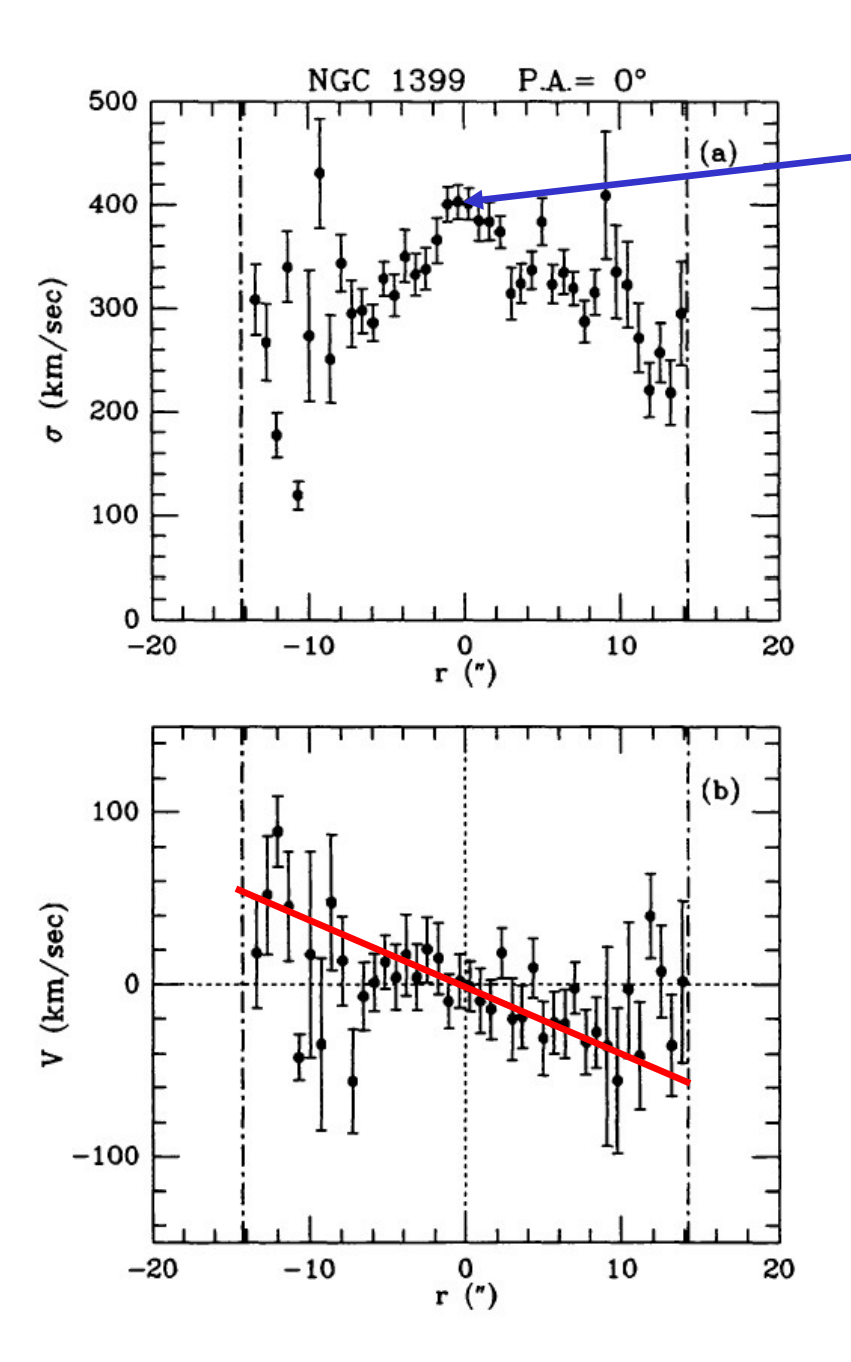


Velocità media

$$\overline{\mathbf{v}} = \frac{\sum_{i=1}^{N} \mathbf{v}_{i}}{N}$$

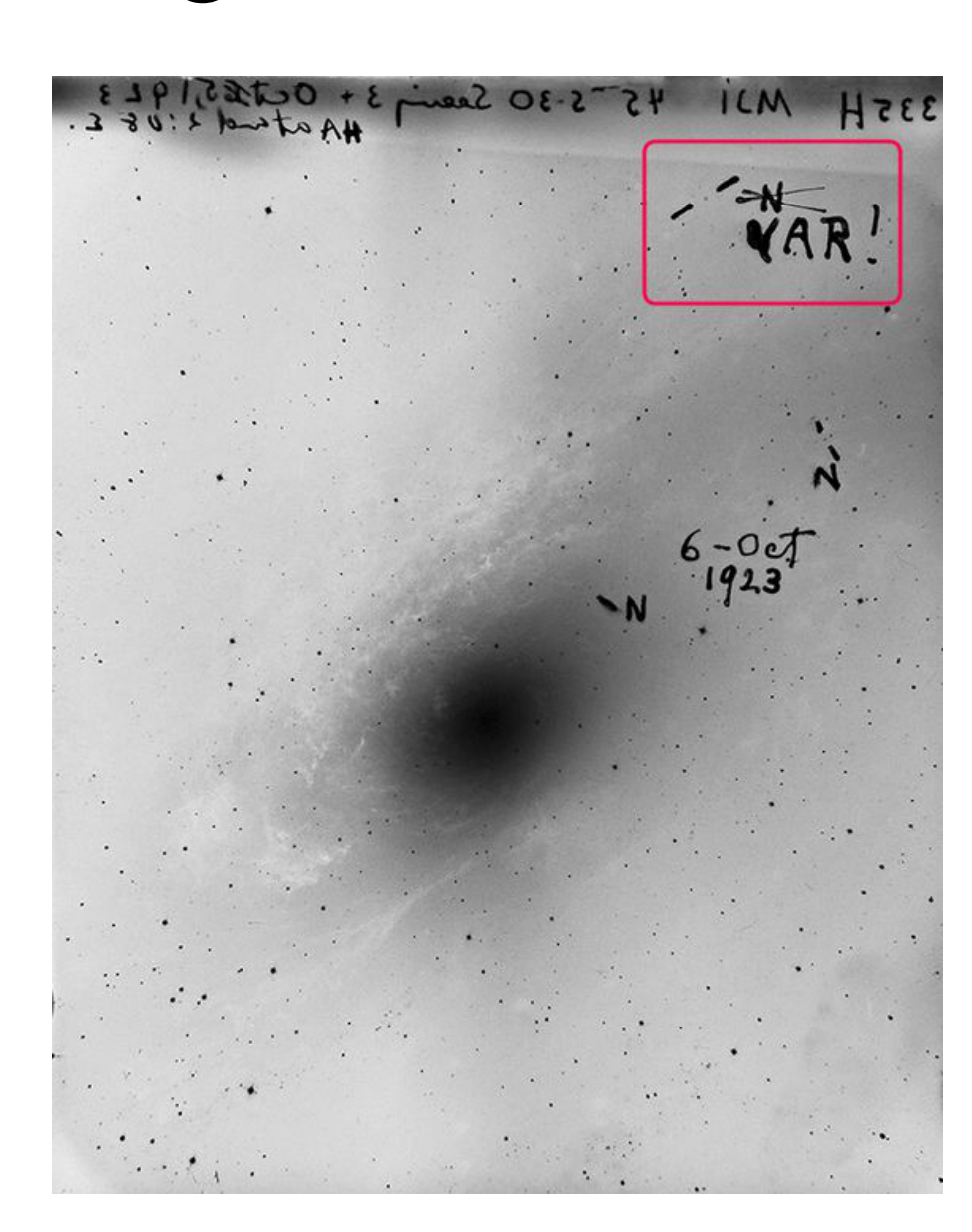
Dispersione di velocità

$$\sigma = \sqrt{\frac{\sum_{i=1}^{N} (\mathbf{v}_{i} - \overline{\mathbf{v}})^{2}}{N-1}}$$



# Distanza delle galassie





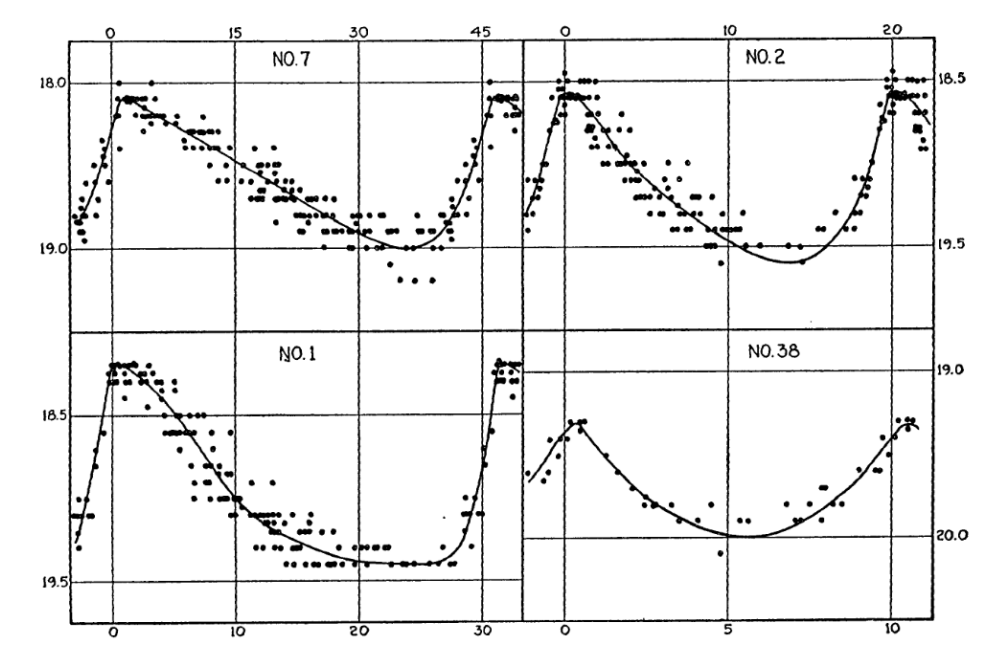
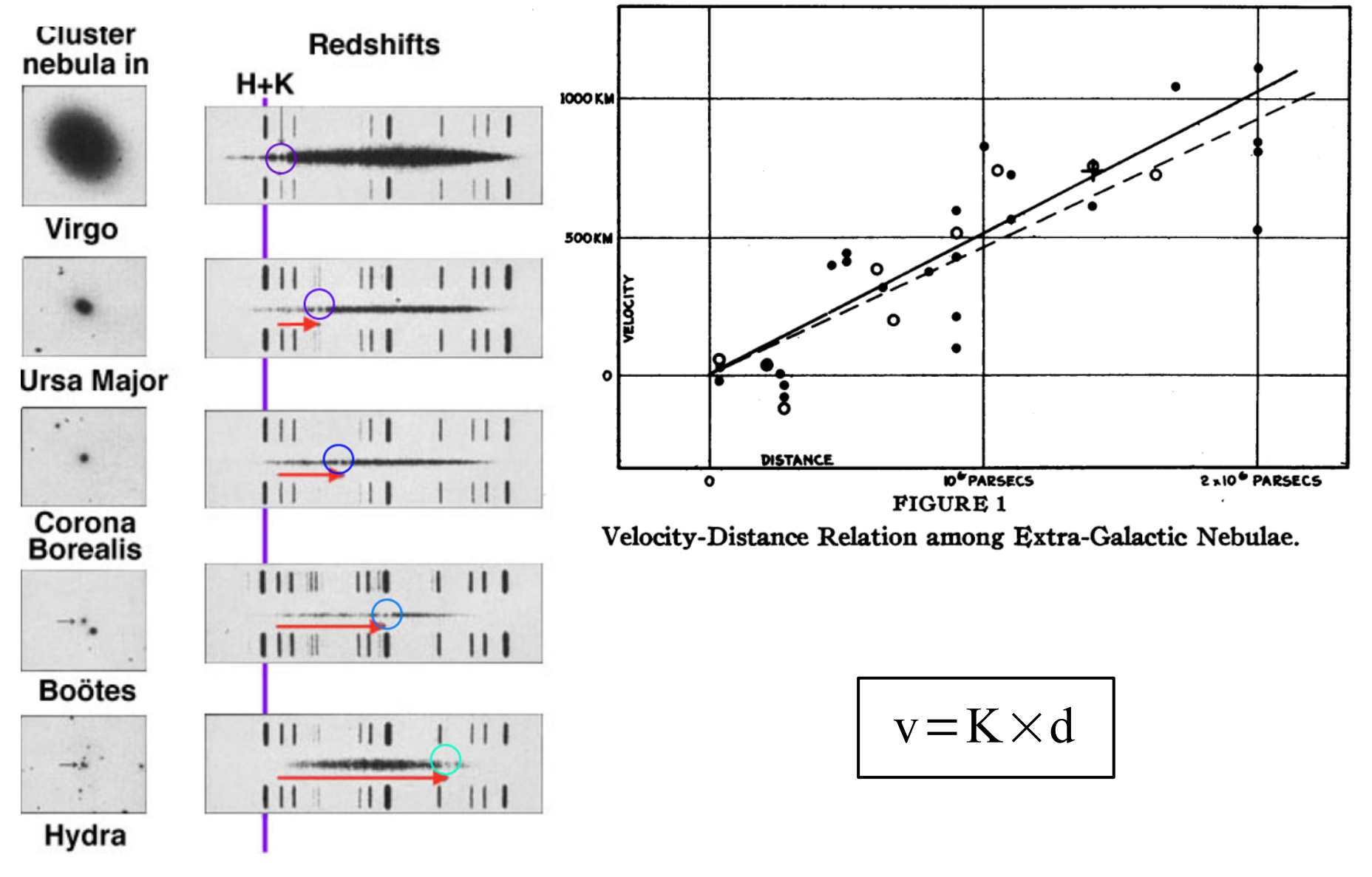


Fig. 1.—Light-curves of four Cepheids in M 31; ordinates, photographic magnitudes; abscissae, days.





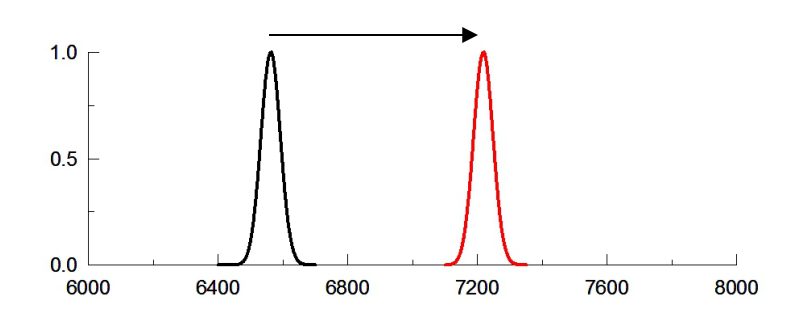
$$K = 465 \pm 50 \text{ km s}^{-1} \text{ Mpc}^{-1} (\mathbf{H_0} = 73 \pm 2)$$

$$z = \frac{\lambda - \lambda_0}{\lambda_0} = \frac{v}{c} = \frac{H_0 \times d}{c} \implies d = \frac{c}{H_0} \times z$$
 (Mpc)

$$z = \frac{\lambda - \lambda_0}{\lambda_0} = \frac{\sqrt{1 + \frac{v}{c}}}{\sqrt{1 - \frac{v}{c}}} - 1 \quad \Rightarrow \quad \boxed{d = \frac{c}{H_0} \times \frac{(z+1)^2 - 1}{(z+1)^2 + 1}} \quad \text{(Mpc)}$$

$$\text{se } v \le c$$

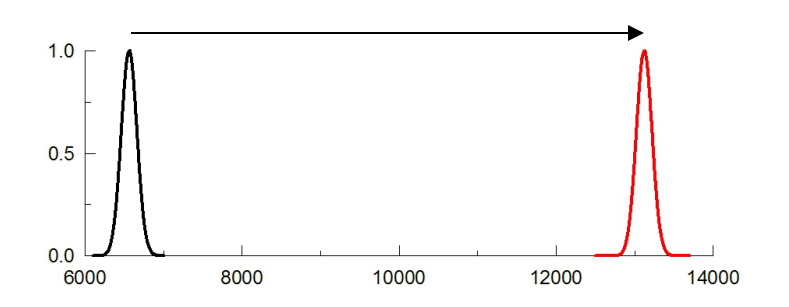
### Come si determina un redshift



$$\lambda_0 = 6563 \text{ Å}$$

$$\lambda = 7912 \text{ Å}$$

$$z = \frac{\Delta \lambda}{\lambda} = 0.1 \implies d = 396 \text{ Mpc}$$



$$\lambda_0 = 6563 \text{ Å}$$

$$\lambda = 13126 \text{ Å}$$

$$z = \frac{\Delta \lambda}{\lambda} = 1 \implies d = 2500 \text{ Mpc}$$

$$\lambda_0 = 1216 \text{ Å}$$

$$\lambda = 5472 \text{ Å}$$

$$z = \frac{\Delta \lambda}{\lambda} = 3.5 \implies d = 3775 \text{ Mpc}$$

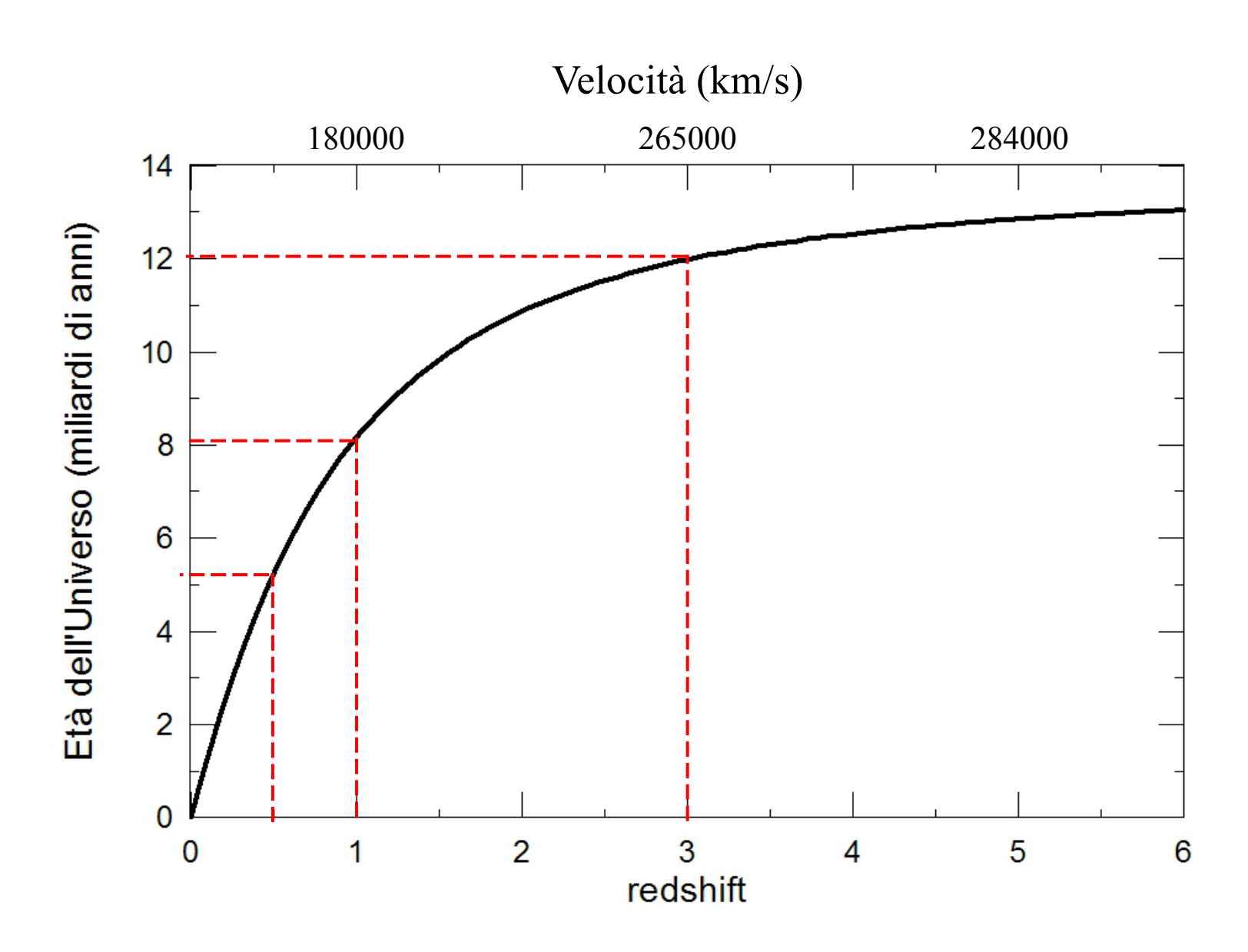
$$d = \frac{V}{H_0} \quad (Mpc)$$



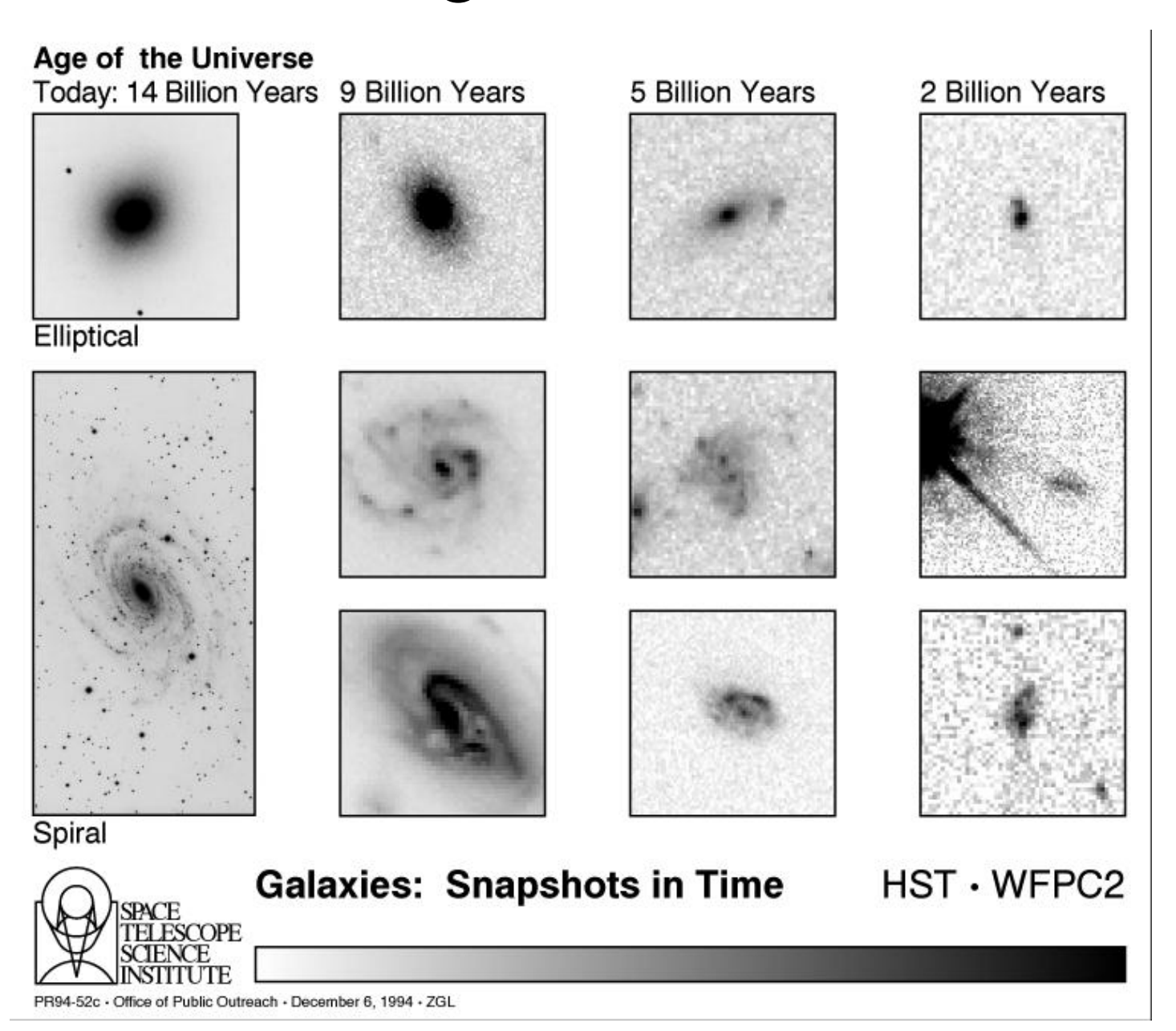
$$\frac{1}{H_0} = \frac{1}{73} \cdot \frac{3.09 \times 10^{19}}{3.15 \times 10^7} = 13.4 \times 10^9 \text{ anni}$$

lontano nello spazio = indietro nel tempo

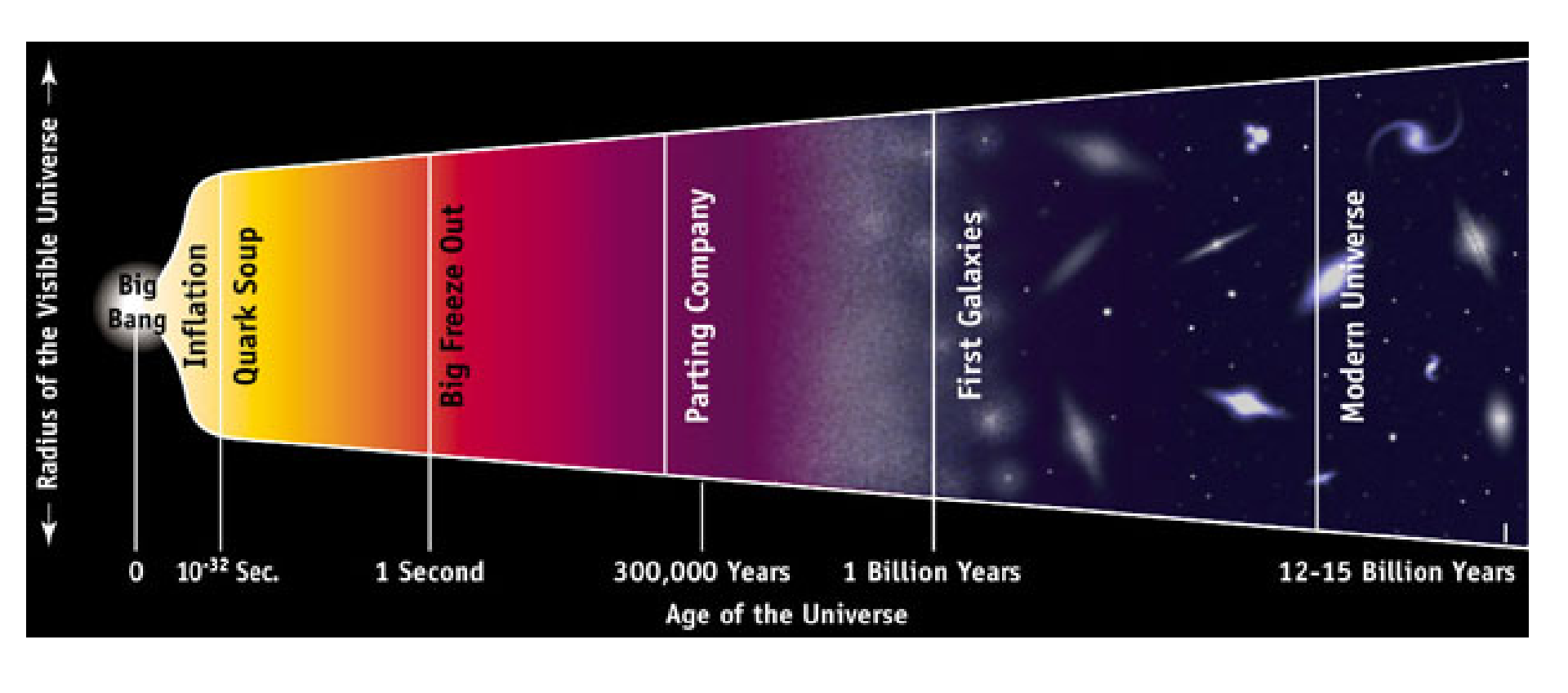
## La scala dei tempi



#### Morfologia ad alto redshift



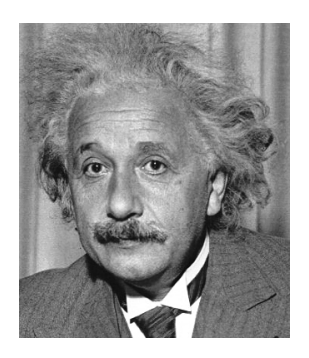
## La teoria del Big Bang



#### Quale futuro per l'Universo?



Alexander Friedmann (1922): assumendo che l'Universo su larga scala appaia lo stesso in ogni direzione e da ogni punto e utilizzando le equazioni della Relatività Generale di Einstein → l'Universo si espande!!



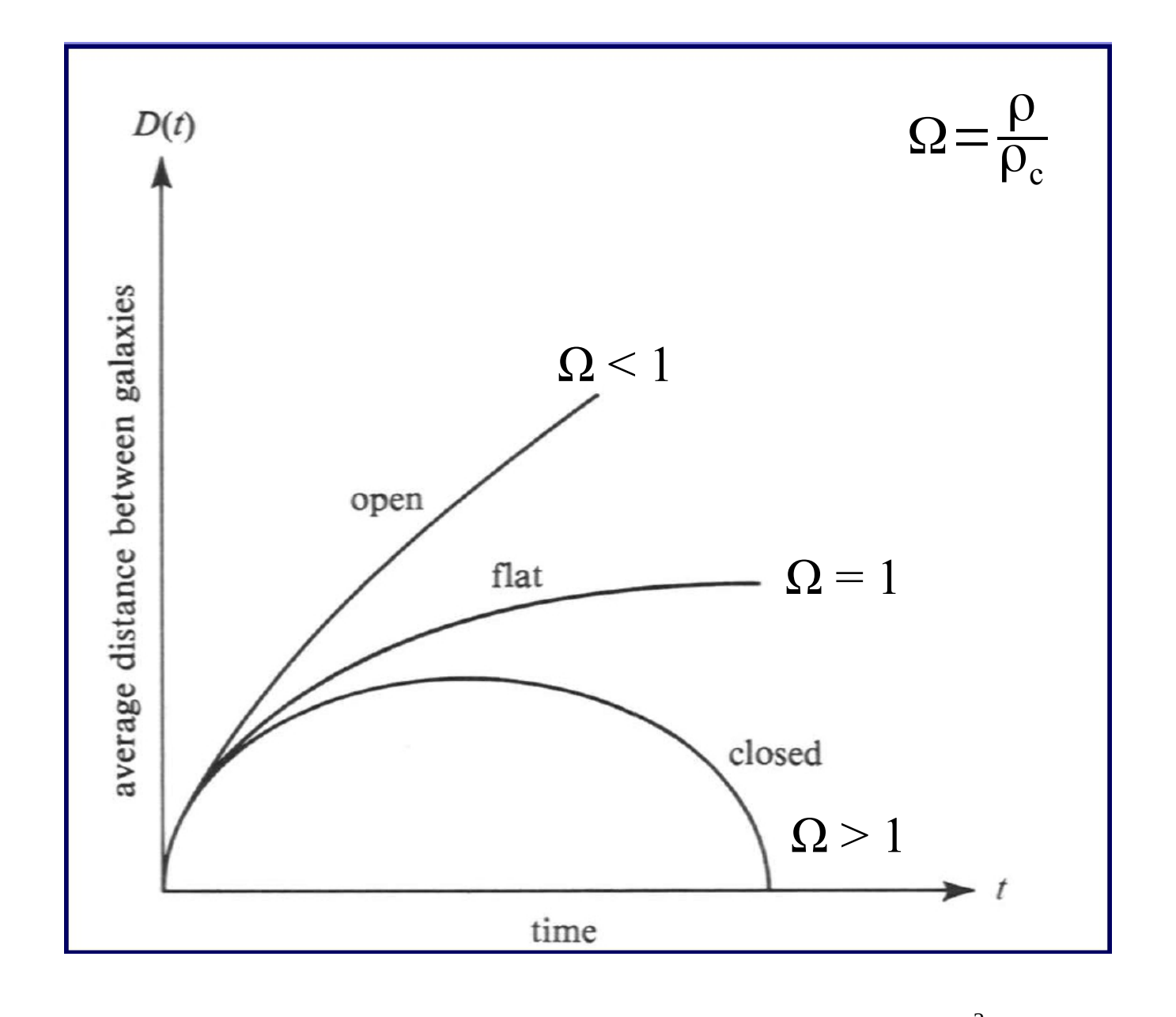
Einstein: impossibile, l'Universo è statico

 $\rightarrow$  costante cosmologica  $\Lambda$ 



Hubble: l'Universo è in espansione

 $\rightarrow$  Einstein cancella la costante  $\Lambda$ 



$$\rho_{c} = \frac{3 H_{0}^{2}}{8 \pi G} \approx 9.7 \times 10^{-30} \,\text{g/cm}^{3}$$

## Qual è il nostro Universo?

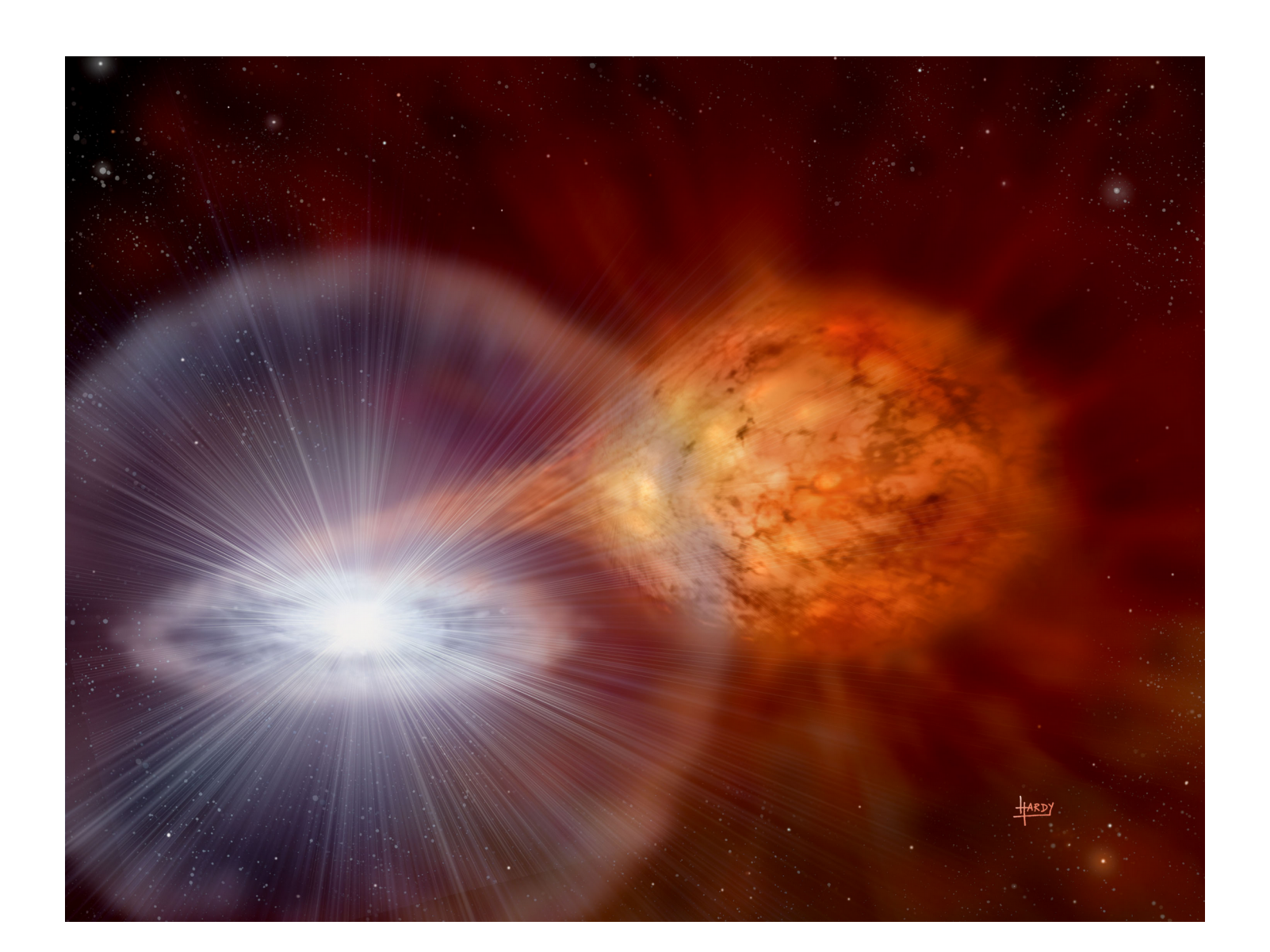
Osservazioni BOOMERanG, WMAP, Planck  $\rightarrow \Omega = 1$ 

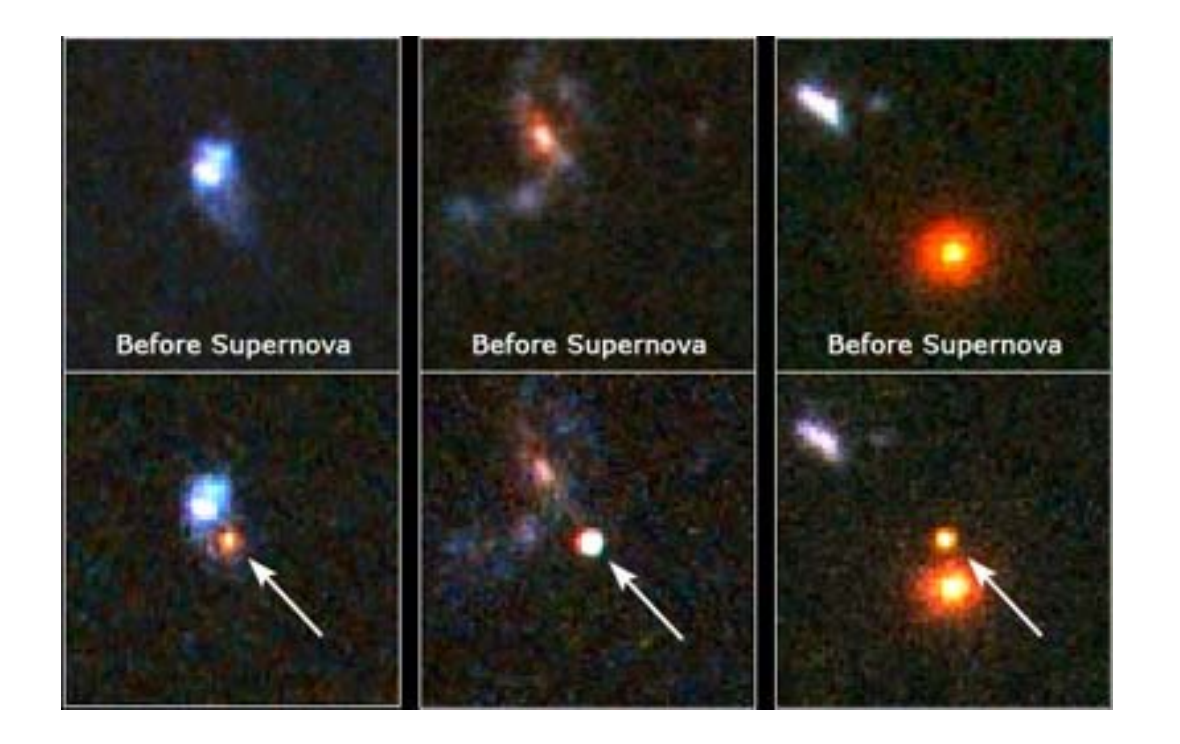


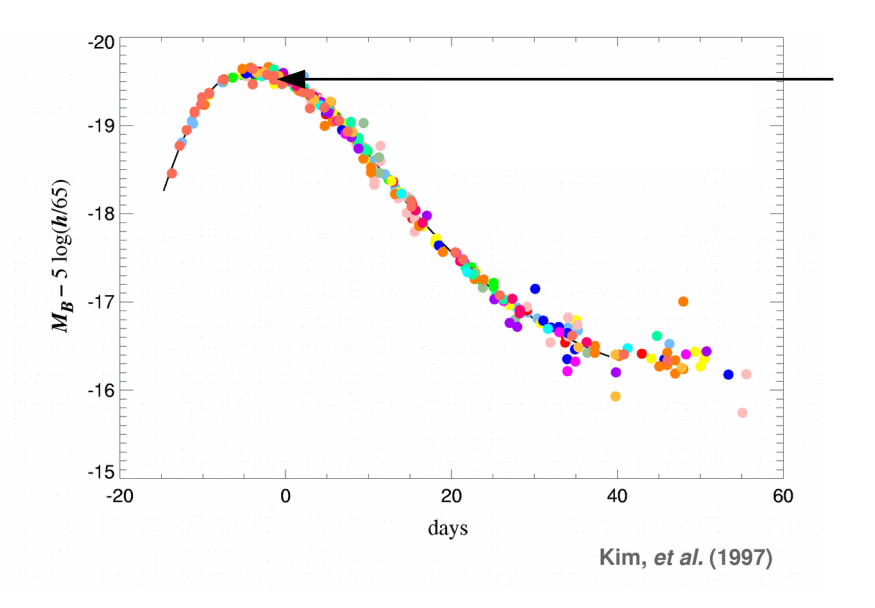
Manca il 68% del parametro di densità  $\rightarrow \Omega_{\Lambda} \approx 0.68$ 

Dati di Planck (2016)  $\to H_0 = 67 \text{ km s}^{-1} \text{ Mpc}^{-1}$ Dati di HST (2018)  $\to H_0 = 73 \text{ km s}^{-1} \text{ Mpc}^{-1}$ 

# Supernovae Ia



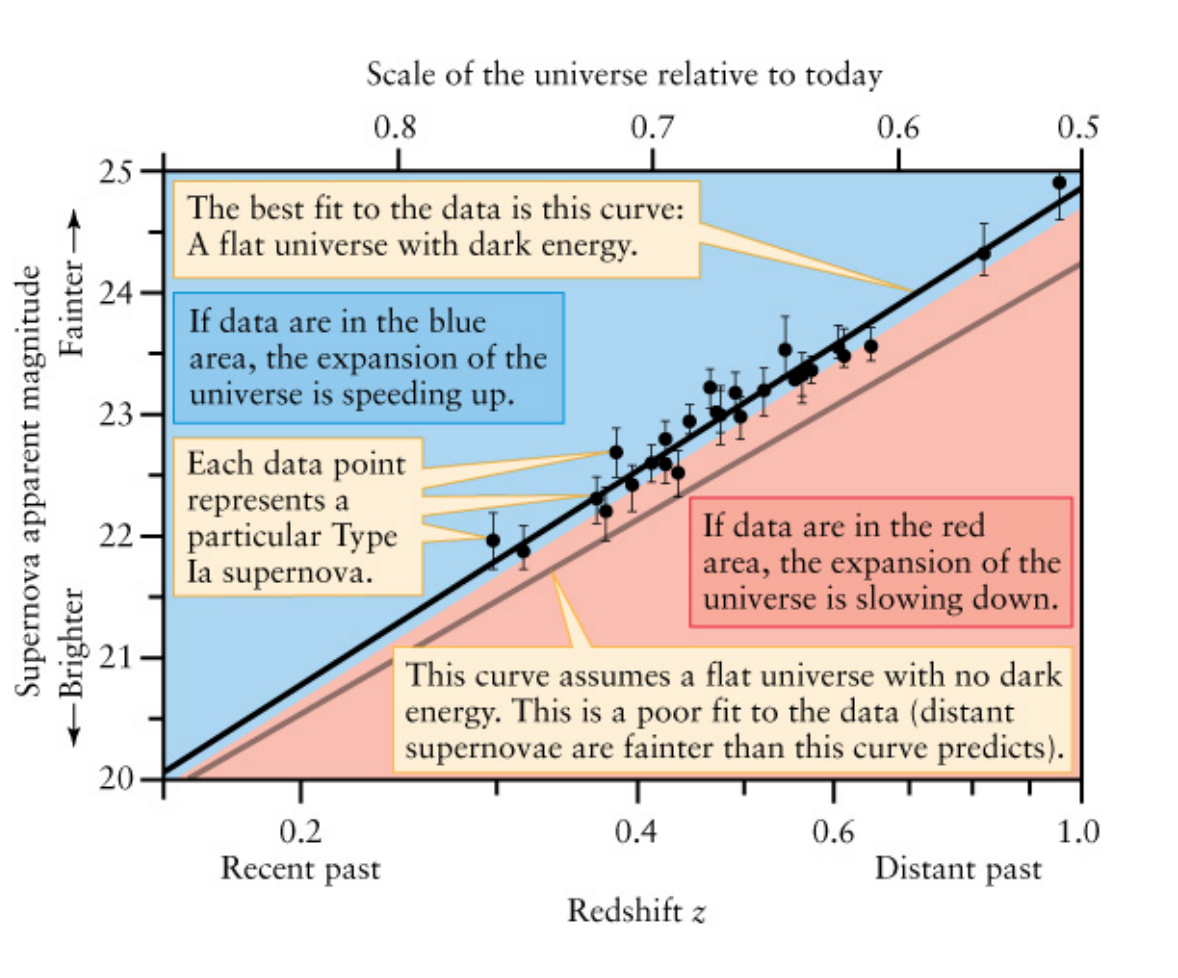




$$M_{B} = -19.5 \pm 0.1$$

$$d = 10^{\frac{m_{B} - M_{B} + 5}{5}} \quad (pc)$$

#### L'Universo è in fase di accelerazione (1998)





Premio Nobel 2011

Per poter accelerare, l'Universo deve essere sottoposto a una sorta di "forza gravitazionale repulsiva" ossia una forza di **pressione** che superi l'attrazione gravitazionale → **Energia Oscura** 

 $\Omega_{\Lambda} \rightarrow \text{ritorna la costante } \Lambda$ 

